

## 초소형 캐퍼시터용 $\text{BaTiO}_3$ 분말합성 및 소결특성에 관한 연구

문홍수 · 박병규 · 이태근 · 김철진\* · 이석근\*\*

서울산업대학교 재료공학과

\*경상대학교 무기재료공학과

\*\*포항산업과학연구원 재료공정연구센타

## Study on the Powder Synthesis of $\text{BaTiO}_3$ and its Dielectric Properties

H. S. Moon, B. K. Park, T. K. Lee, C. J. Kim\* and S. K. Lee\*\*

Department of Materials Science & Engineering, Seoul National

University of Technology, Seoul 139-743, Korea

\*Department of Inorganic Materials Engineering, Gyeongsang National University,

Chinju Gyeongnam 660-701, Korea

\*\*Material Research Division, RIST, Pohang, Gyeongbuk, 790-330, Korea

### 요 약

수열법을 이용하여 미세한  $\text{BaTiO}_3$  분말을 합성하였다. Ti원으로 두 종류의  $\text{TiO}_2$  gel을 사용하였으며 그 크기와 모양이  $\text{BaTiO}_3$  합성에 주는 영향을 고찰하였다. 구형의 단분산  $\text{TiO}_2$  gel을 사용하여  $\text{Ba}(\text{NO}_3)_2$  수용액에서 수열 합성한  $\text{BaTiO}_3$  분말은 입자크기도 균일하였으며 응집이 일어나지 않았다. 비교적 낮은 pH에서 구형  $\text{TiO}_2$  gel을 사용하여 합성한  $\text{BaTiO}_3$  분말은 구형을 그대로 유지하였지만 높은 pH에서 합성한  $\text{BaTiO}_3$  분말은 그 구형이 분해되었다. KOH 양이 많아지고, 합성시간이 길어짐에 따라 합성된  $\text{BaTiO}_3$  분말의 크기는 커졌으며 그  $c/a$  값도 증가하였다.

### Abstract

Fine  $\text{BaTiO}_3$  powders was synthesized by hydrothermal method. Two kinds of  $\text{TiO}_2$  gel powders were used to investigated the size and shape on the resulting  $\text{BaTiO}_3$  powders. Uniform sized  $\text{BaTiO}_3$  powders obtained by hydrothermal treating the spherical  $\text{TiO}_2$  gel in the  $\text{Ba}(\text{NO}_3)_2$  aqueous solution without agglomerate. Comparatively at low pH the spherical gel powder retained its spherical shape to produce spherical  $\text{BaTiO}_3$  powder but at high pH it was dissolved. As the increase of the amount of KOH and reaction time, the particle size of  $\text{BaTiO}_3$  powder became bigger and  $c/a$  value was increased.

### 1. 서 론

수열법은 열과 압력을 동시에 가함으로써 비교적 낮은 온도에서도 분말의 합성이 가능한 방법으로, 최근 고기능 세라믹스 분말을 합성하는데 많이 이용되어지고 있으며, 상업적으로는 유전체 압전체용 분말 합성에 응용되어지고 있다.<sup>1,2)</sup> 수열법은 다른 분말 합성과 비교해 낮은 온도에서도 분말의 합성이 가능하

고 용액으로부터 직접 미립의 결정성이 높은 분말을 얻음으로써 milling 과정과 고온에서의 하소과정이 필요치 않으며 입자크기, 입자모양, 화학적 조성 등을 손쉽게 제어할 수 있는 장점이 있다. 현재까지 수열법에 의한  $\text{BaTiO}_3$  분말 합성에 관한 연구로는 합성 온도 및 입자크기에 따른 결정형에 관한 것이었다. 즉, Shvets 등은<sup>3)</sup> 물의 임계온도보다 높은 673 K 이상의 고온에서는 수열법으로 정방정 형태의  $\text{BaTiO}_3$

분말이 합성된다고 하였고, Begg 등은<sup>4)</sup> 573 K의 온도에서 정방정 형태의 BaTiO<sub>3</sub> 분말이 합성된다고 보고하였다. 그러나 입자크기가 0.12 μm 이하에서는 hydroxyl ion과 cation vacancy와 관련된 lattice strain 때문에 상온에서 cubic상이 안정화되고 1000°C 이상으로 열처리 하였을 때 정방정으로 전이된다라고 보고하였다.

Uchino 등도<sup>5)</sup> 입자크기가 0.1 μm 이하에서는 입방정상을 보이고 0.12~0.4 μm까지 tetragonalitity가 급격히 상승하며 0.4~1 μm에서 서서히 증가 1 μm 이상에서는 일정하다고 보고하였다.

일반적으로 알려진 BaTiO<sub>3</sub> 소결체의 유전상수( $\epsilon_r$ )는 결정립의 크기  $a$ 에 의존한다고 알려져 있다. Arlt, Henning 등은<sup>6)</sup>  $a=20\sim50 \mu\text{m}$ 일 때 상온에서 유전상수  $\epsilon_r=1500\sim2000$ ,  $a=0.7\sim1 \mu\text{m}$ 일 때  $\epsilon_r=5000$ 을 갖는다고 보고하였다. Brandmayr 등도<sup>7)</sup> hot-pressed하여  $a\approx1 \mu\text{m}$ 일 때  $\epsilon_r=6000$  값을 관찰하였고 결정립의 크기가 더 작아졌을 때  $\epsilon_r$  값이 줄어들었다고 보고하였다.

최근의 고기능 세라믹스 제품을 생산함에 있어서 좋은 소결체를 얻기 위해서는 소결단계에서 뿐만 아니라 초기원료인 분말 특성에 대한 제어를 필요로하게 되었다. 즉 앞에서 연구되어진 결정형뿐만 아니라 형상 및 크기의 제어가 최종 생산물의 특성에 크게 영향을 미치기 때문에 본 논문에서는 Ti원으로 가수분해하여 제조한 TiO<sub>2</sub> gel과 열가수분해하여 제조한 TiO<sub>2</sub> gel의 두 종류를 사용하여 수열법으로 BaTiO<sub>3</sub>를 합성하였으며 반응시간 및 광화제의 변화에 따른 분말특성을 관찰하고, 합성조건에 따른 소결 조건을 결정하여 여러 전자 세라믹스의 분말합성등에 응용하고자 하였다.

## 2. 실험방법

### 2-1. TiO<sub>2</sub> gel 제조

실험초기 Ti 원료로서 Hayashi사 제품의 TiO<sub>2</sub> 분말을 사용하여 반응온도 473 K에서 합성시켰을 때 대부분의 합성조건에서 TiO<sub>2</sub> 분말이 완전히 반응하지 않고 불순물로 존재하였다. 이것은 Hayashi사 제품의 TiO<sub>2</sub> 분말의 크기가 크기 때문에 본 실험의 반응 조건에서는 완전히 반응하지 못하는 것으로 생각되어 서서 TiO<sub>2</sub> gel을 제조하여 실험에 사용하였다. TiO<sub>2</sub>

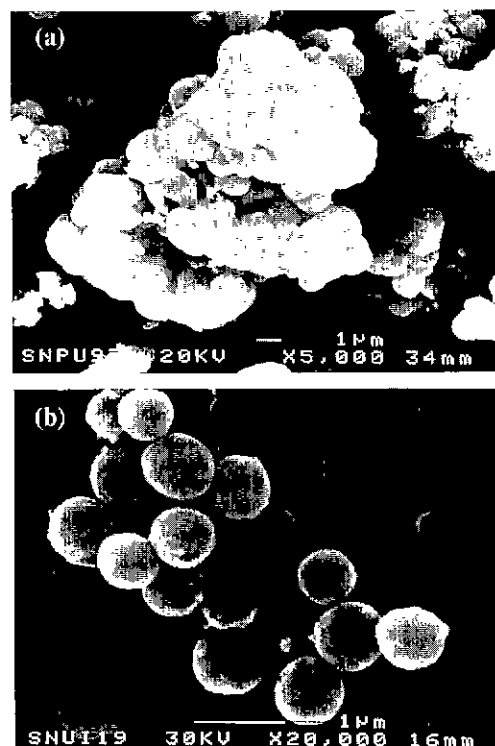


Fig. 1. SEM photographs of TiO<sub>2</sub> gel (a) and spherical TiO<sub>2</sub> gel (b).

제조는 출발원료로서 titanium(IV) isopropoxide ( $\text{Ti}[\text{OCH}(\text{CH}_3)_2]_4$ ) 7.7 g과 이온화수 6 ml를 각각 iso-propyl alcohol 200 ml와 40 ml를 사용하여 희석시킨 후 천천히 가수분해시켜 Fig. 1-a)와 같이 2차 입자크기가 1~2 μm인 TiO<sub>2</sub> gel을 제조하였다.

### 2-2. 구형 TiO<sub>2</sub> gel 제조

구형 TiO<sub>2</sub> gel 분말의 제조방법은 먼저 출발원료로서 titanium(VI)chloride( $\text{TiCl}_4$ )를 사용하였다. iso-propyl alcohol과 이온화수를 3:1의 비율로 혼합한 용매용액에  $\text{TiCl}_4$  0.1 M을 희석시키고 수시간 동안 반응온도인 30°C 이하의 온도에서 충분히 교반시킨 후 열 가수분해를 통하여 구형의 TiO<sub>2</sub> gel을 제조하였다.<sup>8,9)</sup> 구형의 TiO<sub>2</sub> gel 제조시 교반을 충분히 하지 않았을 때에는 넓은 입도 분포를 가지는 gel이 합성되었고, 또한 입자간 duplet이나 triplet이 발생하였다. 열 가수분해시 구형 입자 사이의 응집을 막기위해 분산제로서 hydroxy propyl cellulose(HPC)를 첨가하였

고, 반응시  $\text{TiO}_2$  gel로 합성되어지지 않고  $\text{Ti(OH)}_2$ 로의 생성되는 것을 억제하기 위해  $\text{HCl}(35\%)$ 를 2.5 ml를 첨가하였다. 반응 후 반응온도인 30°C 이상에서  $\text{NaOH}$  0.5 M을 첨가함으로써 수용성 염의 생성을 유도하여 냉각시  $\text{TiO}_2$  gel의  $\text{Cl}^-$  이온과 결합해 재 용해되는 것을 방지하였다. 여기에서  $\text{NaOH}$ 의 첨가량이 증가함에 따라  $\text{Cl}^-$  이온과의 결합이 많아져서 구형  $\text{TiO}_2$  gel 생성이 증가하였다. 그러나 과량의  $\text{NaOH}$  (1.5 M)을 첨가했을 때 구형이 아닌 불규칙한 형상의  $\text{TiO}_2$  gel이 합성되었다. 이렇게 만들어진 구형의  $\text{TiO}_2$  gel을 여러 가지 불순물들과 분리하기 위하여 수 차례 이온화수를 사용하여 세척 및 원심분리 하였으며 최종적으로 건조시 입자간 응집을 막기 위해 isopropyl alcohol로 회색시킨 후 원심 분리하여 353 K에서 24 hr 건조하였다. 이렇게 만들어진  $\text{TiO}_2$  gel 분말은 Fig. 1-b)에 나타난 것과 같이 입자간 응집이 없는 구형의 형태로 제조되었다. 이후의 논문내용에서는 두 종류의  $\text{TiO}_2$  gel을 구분하기 위하여 가수분해하여 제조한  $\text{TiO}_2$  gel은  $\text{TiO}_2$  gel로 열가수분해하여 제조한  $\text{TiO}_2$  gel은 구형  $\text{TiO}_2$  gel로 구분하기로 하였다.

### 2-3. $\text{BaTiO}_3$ 분말의 합성

Ba 원료로서  $\text{Ba}(\text{NO}_3)_2$ 를 사용하고, Ti원으로서는  $\text{TiO}_2$  gel, 구형  $\text{TiO}_2$  gel을 사용하였다. 광회제로서는 KOH를 사용하였으며, 출발원료의 Ba/Ti의 비는 1.3,  $\text{TiO}_2$ 의 농도는 0.2 M로 고정하였다. 이렇게 칭량된 시료는 70 ml의 이온화수와 함께 100 ml의 Teflon-lined autoclave 속에 넣어 반응온도 473 K에서 합성하였다. 반응시간을 1~5 day, KOH 0.5~4 M로 변화시켜 이에 따른 분말의 특성을 관찰하였다. 반응 후에 합성된 분말을 millipore filter paper를 사용하여 vacuum filtering하였으며 이온화수를 사용하여 충분히 세척한 후 353 K oven에서 24 hr 건조함으로써 최종 분말을 얻었다.

### 2-4. 성형 및 소결

합성된 분말에 결합제로서 PVA 3% 수용액을 첨가하여 일축기압 성형 하였다. 성형시 압력은 50 MPa로 3분간 유지 후 감압하여  $\phi=10$  mm t=3 mm의 pellet 형태로 제조하였다. 소결시 승온속도는 5°C/min로 하였으며, 공기 분위기에서 소결온도를 1250~1350°C

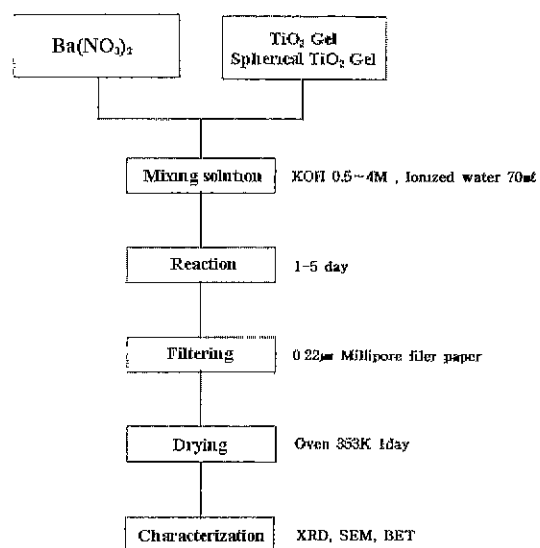


Fig. 2. Flow chart of  $\text{BaTiO}_3$  powder preparation by the hydrothermal method.

로 변화시켜 1시간~4시간 동안 열처리 후 노광하여 소결체를 제조하였다.

### 2-5. 분석

합성된 분말의 조성 및 결정상을 관찰하기 위해서 X-ray diffractometer(XRD)를 이용하였다. 본 실험에서 사용한 XRD 분석은  $\text{Cu}-\text{K}_{\alpha}\text{X}$ 선을 이용하여 step-

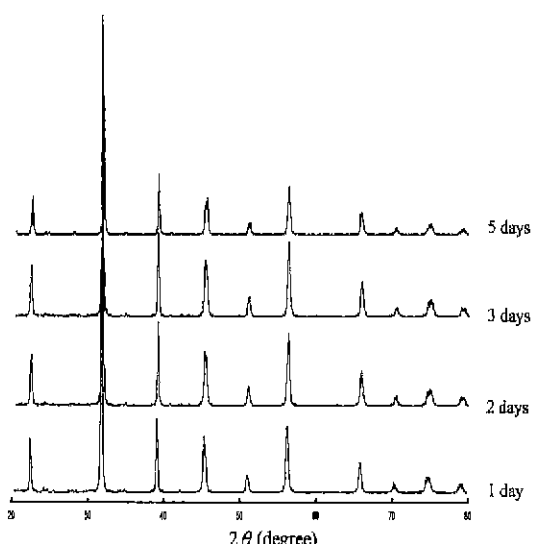
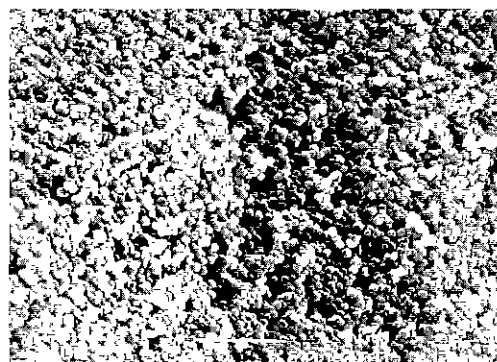
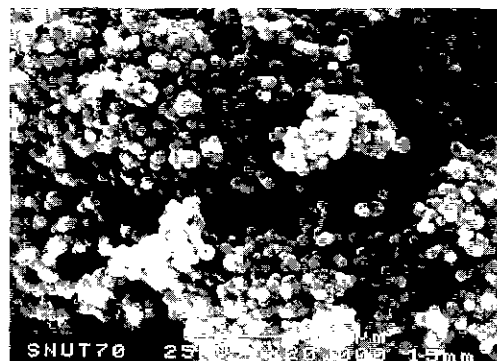


Fig. 3. XRD patterns of  $\text{BaTiO}_3$  powder prepared from  $\text{TiO}_2$  gel as reaction proceeds at 0.5 M KOH.

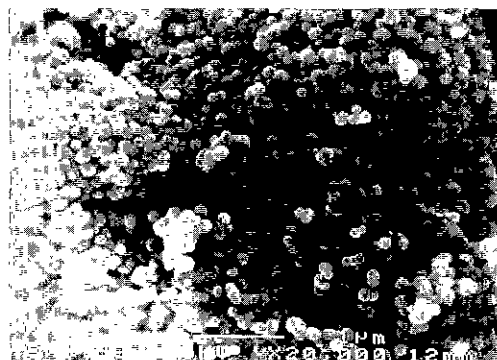
width 0.04°로 측정시간은 2초로 하였다. Scanning Electron Microscopy(SEM)을 이용하여 분말의 입도 분포, 입자 형태 및 소결체의 미세구조를 관찰하였으며, 합성된 분말의 비표면적 및 비표면적을 이용한 입자의 크기 분석을 위해 비표면적 측정기(ASAP2010)를 사용하였으며, 전체적인 실험공정도는 Fig. 2와 같았다.



(a) 1 day



(b) 3 days



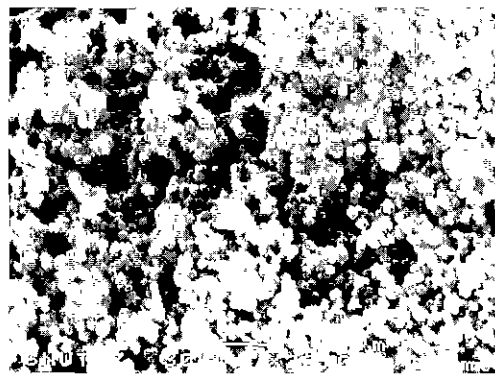
(c) 5 days

Fig. 4. SEM photographs of BaTiO<sub>3</sub> powder prepared from TiO<sub>2</sub> gel as reaction proceeds at 0.5 M KOH.

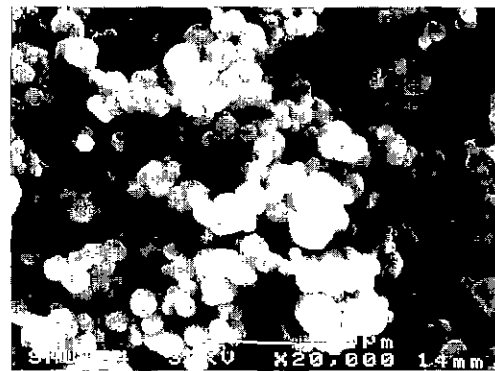
### 3. 결과 및 고찰

#### 3-1. TiO<sub>2</sub> gel을 사용하여 합성한 BaTiO<sub>3</sub> 분말의 특성

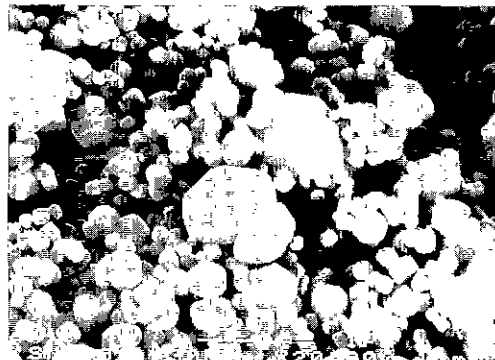
Ti원으로 기수분해하여 제조한 TiO<sub>2</sub> gel을 사용하고 Ba원으로 Ba(NO<sub>3</sub>)<sub>2</sub>를 사용하여 반응온도 473 K,



(a) 1 day



(b) 3 days



(c) 5 days

Fig. 5. SEM photographs of BaTiO<sub>3</sub> powder prepared from TiO<sub>2</sub> gel as reaction proceeds at 4 M KOH.

KOH 0.5 M에서 반응시간을 1~5일로 변화시켜 합성한  $\text{BaTiO}_3$  분말의 XRD 회절분석에 따른 결과는 Fig. 3과 같았다. XRD peak를 JCPDS card로 분석한 결과  $\text{BaTiO}_3$  분말이 합성되었음을 확인할 수 있었다. 전체적으로 반응시간에 따른 XRD peak의 변화는 크지 않음을 알 수 있었고, 결정상은 입방정상을 나타내었다. 위와 같은 분말의 SEM 사진을 Fig. 4에 나타내었다. 반응시간이 길어질수록 합성된 분말의 크기가 커졌으며, 비교적 좁은 입도 분포를 나타내었다. 합성된 분말의 크기는 대략  $0.1 \mu\text{m}$ 을 나타내었고, 합성된 분말은 서로 응집된 것을 볼 수 있었다. 이것은  $\text{TiO}_2$  gel이 응집한 상태로 제조되었기 때문에 합성된  $\text{BaTiO}_3$  분말도 이와같이 응집된 상태를 나타낸 것이라 생각되어졌다. XRD peak에서 합성온도 473 K, KOH 0.5 M, 반응시간 24시간일 때 분말은 입방정상을 나타내었는데, Begg 등은<sup>4)</sup> 입자크기가  $0.12 \mu\text{m}$  이하에서는 열역학적으로 상온에서는 정방정상이 안정화된다고 한 결과와 일치하였다. Fig. 5는 합성온도 473 K, 광화제인 KOH 4 M에서의 반응시간에 따른 분말의 SEM 사진으로 전체적으로 KOH의 첨가량이 0.5 M일 때와 달리 반응시간이 길어짐에 따라 입자의 성장이 더욱 뚜렷해 졌으며, 입도 분포

가 더욱 넓은 분말이 합성되었다. Fig. 6은 합성온도 473 K, KOH을 4 M 첨가하고 반응시간을 변화시켜 합성한 분말의 XRD pattern으로 KOH 첨가량이 4 M일 때는 정방정상인  $\text{BaTiO}_3$ 가 합성됨을 알 수 있고, 반응시간이 길어짐에 따라  $45.08^\circ$ 와  $45.32^\circ$ 의

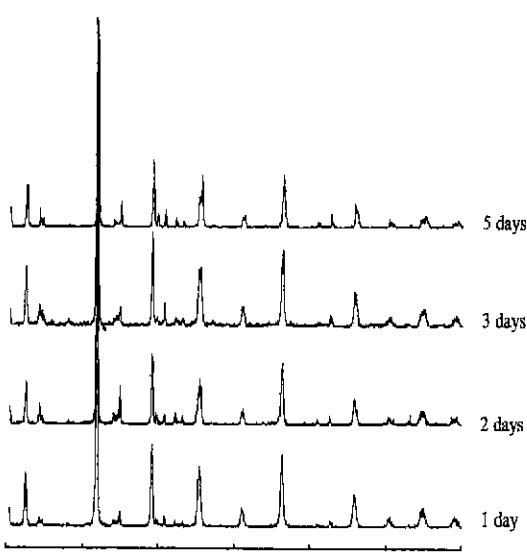


Fig. 6. XRD patterns of  $\text{BaTiO}_3$  powder prepared from  $\text{TiO}_2$  gel as reaction proceeds at 4 M KOH.

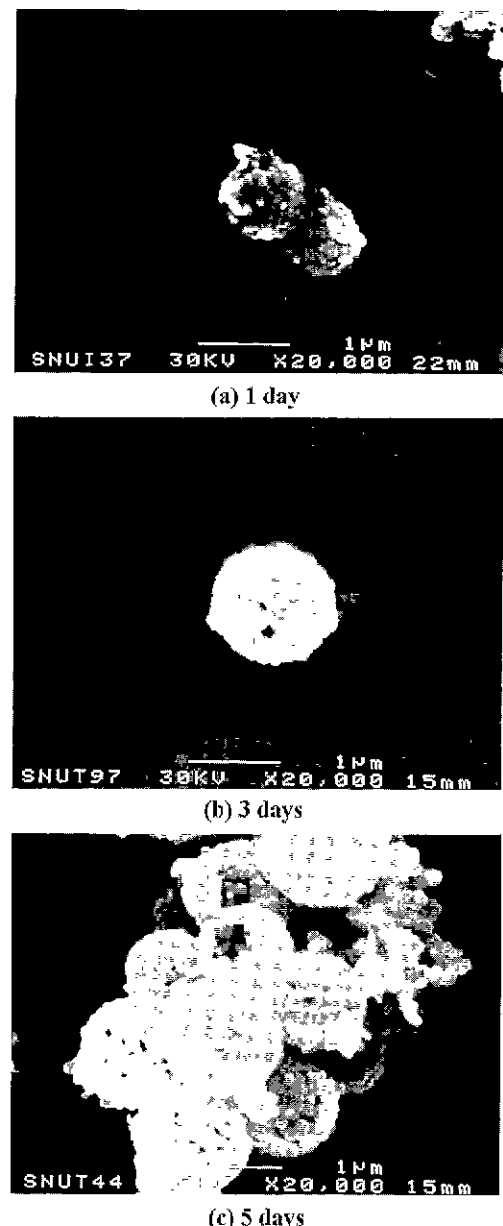


Fig. 7. SEM photographs of  $\text{BaTiO}_3$  powder prepared from spherical  $\text{TiO}_2$  gel as reaction proceeds at 0.5 M KOH.

(002) (200) peak가 뚜렷이 분리됨을 관찰할 수 있었다. 이것으로 입자가 성장함에 따라 정방정의 BaTiO<sub>3</sub>가 합성됨을 알 수 있었다. 충분히 성장한 BaTiO<sub>3</sub> 분밀의 모양은 truncated octahedron 형태를 하고 있음을 관찰 할 수 있었다. KOH<sup>양</sup>이 증가할수록, 반응 시간이 길어질수록 부 반응물인 BaCO<sub>3</sub><sup>양</sup>이 증가하였다. 이것은 공기중에 존재하는 CO<sub>2</sub>가 Ba원인 Ba(NO<sub>3</sub>)<sub>2</sub>와 반응하여 생성된 것으로 보이며, 이는 glove box 등을 사용하여 합성하면 해결이 가능하리라 생각되었다.

### 3-2. 구형 TiO<sub>2</sub> gel을 사용하여 합성한 BaTiO<sub>3</sub> 분밀의 특성

#### 3-2-1. 반응시간의 영향

Ti원으로 열 기수분해하여 제조한 구형의 TiO<sub>2</sub> gel을 사용하고 Ba원으로 Ba(NO<sub>3</sub>)<sub>2</sub>를 사용하여 합성온도 473 K, KOH 0.5 M을 첨가하고 반응시간을 변화

시켜 합성한 BaTiO<sub>3</sub> 분밀의 XRD 회절을 분석하였을 때, 가수분해하여 제조한 TiO<sub>2</sub> gel을 사용하여 합성한 분밀과 거의 비슷한 결과를 얻을 수 있었다 (Fig. 3). 반응시간 0시간에서 BaTiO<sub>3</sub> 분밀의 peak 값이 낮았으나, 반응시간 1일 이후에는 전체적으로 BaTiO<sub>3</sub>가 잘 합성됨을 알 수 있었다. 합성온도 473 K, KOH 0.5 M을 첨가하고 반응시간을 변화시켜 합성한 BaTiO<sub>3</sub> 분밀의 SEM사진을 Fig. 7에 나타내었다. 합성된 분밀은 반응시간에 관계없이 작은 일차입자들에 의해 구성된 2차 입자가 TiO<sub>2</sub> gel의 형태를 유지한 구의 형태로 합성되어졌다. 또한 기수분해하여 제조한 TiO<sub>2</sub> gel을 사용한 것과 달리 입자간 응집을 보이지 않았고, 입도분포가 균일한 분밀의 합성이 가능했었다. 전체적으로 반응시간이 길어질수록 일차입자도 약간씩 성장하였으며 이에 따라 구형의 2차 입자도 성장함을 관찰할 수 있었다. Fig. 8에 합성온도 473 K에서 KOH를 2 M 첨가하고, Ti source

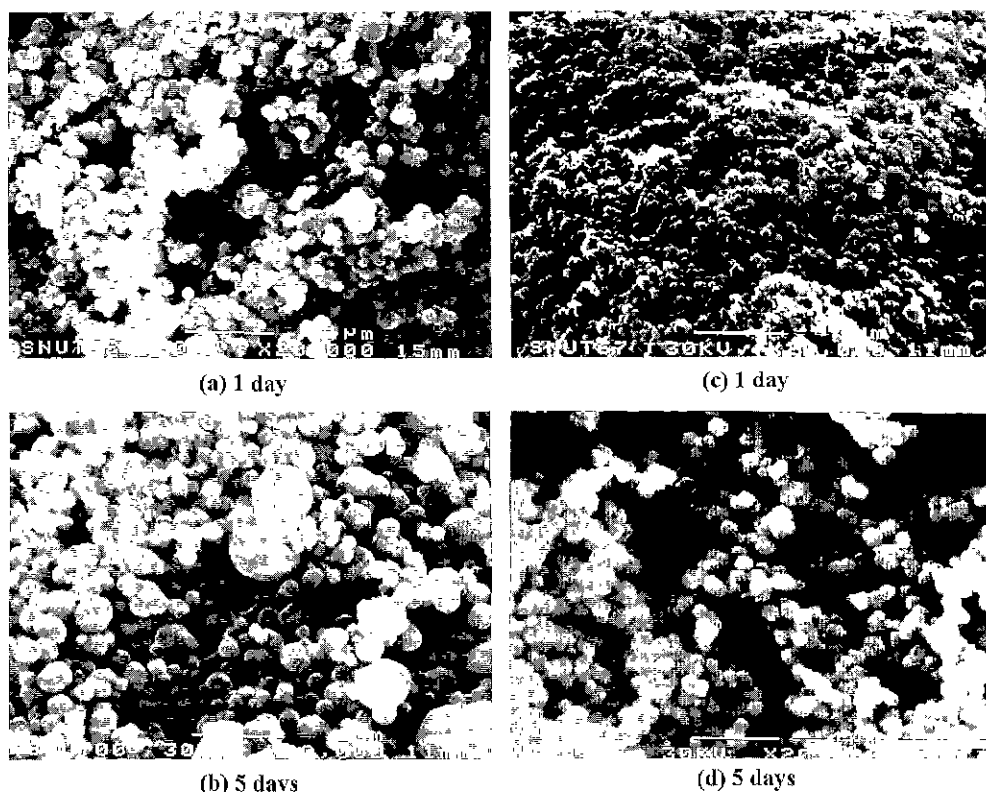


Fig. 8. SEM photographs of BaTiO<sub>3</sub> powder prepared from TiO<sub>2</sub> gel (a) and (b) from spherical TiO<sub>2</sub> gel (c) and (d) at 2 M KOH.

및 반응시간을 각각 달리하여 합성한 분말의 SEM 사진을 나타내었다. Fig. 8-a, b)에서 볼 수 있듯이 가수분해하여 제조한  $\text{TiO}_2$  gel을 사용하여 합성한 분말은 입자크기가 균일하지 않았으며 반응시간이 길어질수록 더욱 입도 분포가 넓은 분말이 합성되었다. Fig. 8의 c, d)에서 구형의  $\text{TiO}_2$  gel을 사용한 경우 반

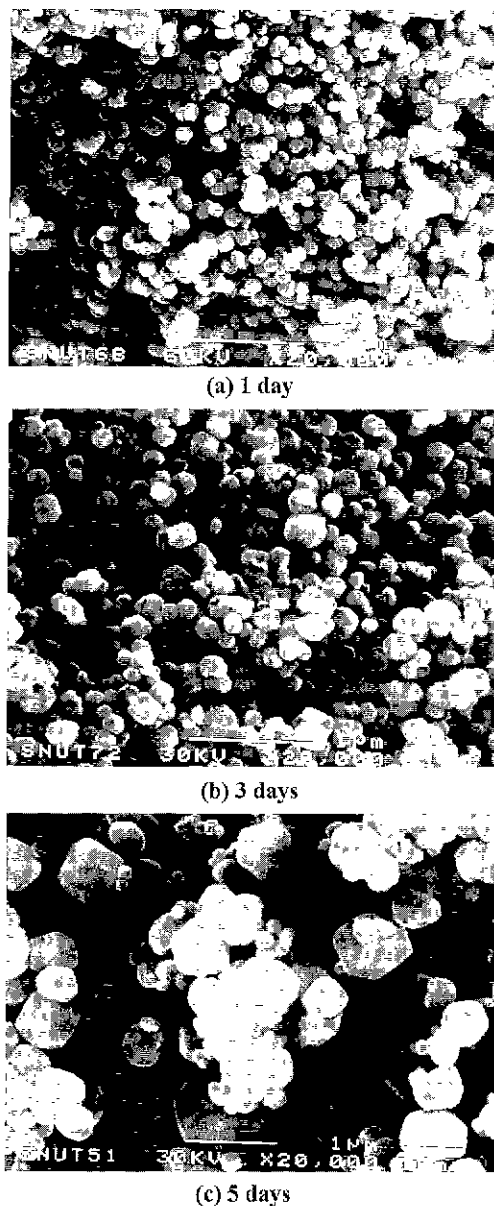


Fig. 9. SEM photographs of  $\text{BaTiO}_3$  powder prepared from spherical  $\text{TiO}_2$  gel as reaction proceeds at 4 M KOH.

응시간이 길어질수록 입자의 성장만이 약간씩 일어나는 균일한 크기의 분말합성이 가능했었다. 이와 같이  $\text{Ti}$  source를 달리 하였을 때 나타난 합성된 분말의 차이점은  $\text{TiO}_2$  gel이 가수분해 시 입자간 응집을 이루면서 응집된 gel 내부와 외부의 합성조건의 차이에 의해 나타난 것이라 생각되어졌다. 또한 구형의  $\text{TiO}_2$  gel을 사용하고 KOH 2 M을 첨가하였을 때, KOH 0.5 M을 첨가한 것과 달리 합성된 분말의 이차입자가 구형을 유지하지 못하고 부서진 형태를 보였다. 합성온도 473 K, 광화제인 KOH를 4 M 첨가하고 반응시간의 변화에 따라 합성된 분말의 XRD 회절분석 결과  $\text{TiO}_2$  gel을 사용한 것과 같이 반응시간이 길어질수록  $2\theta = 45.02^\circ$ 와  $45.32^\circ$ 의 (002)(200) peak의 분리가 더욱 뚜렷해 졌으며, 전체적으로 정방정의  $\text{BaTiO}_3$ 가 합성됨을 알 수 있었다. Fig. 9에 합성온도 473 K, 광화제인 KOH를 4 M 첨가하고 반응시간의 변화에 따라 합성된 분말의 SEM 사진을 나타내었다. SEM 사진을 보면 구형의  $\text{TiO}_2$  gel을 사용하였을 때, KOH의 첨가량이 2 M 이하에서 합성된 분말은 크기가 균일한 반면, KOH 첨가량이 4 M 반응시간 1일에서 합성된 분말의 일차입자가 불규칙한 형태를 나타내었다. 반응시간이 길어짐에 따라 입자

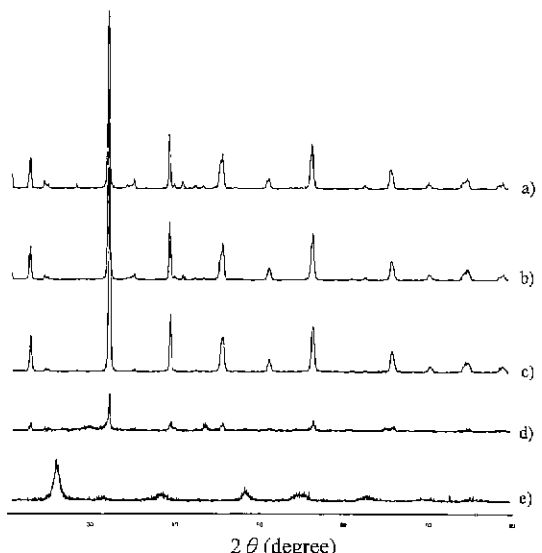


Fig. 10. XRD patterns of  $\text{BaTiO}_3$  powder prepared from spherical  $\text{TiO}_2$  gel as reaction proceeds for 1 day (a) 4 M KOH, (b) 2 M KOH, (c) 0.5 M KOH, (d) 0.25 M KOH, (e) 0 M KOH.

가 성장하였으며 TiO<sub>2</sub> gel을 사용한 것과 같이 입도 분포가 더욱 넓은 분말이 합성되었다. 이러한 결과는 구형의 TiO<sub>2</sub> gel을 사용하였을 때에도 KOH의 첨가량이 많아짐에 따라 반응이 급속히 일어나 입도분포가 넓은 분말이 합성된 것이라 생각되어졌다.

### 3-3-2. KOH의 영향

합성온도 473 K, 반응시간 1일에서 KOH 첨가량의 변화에 따른 XRD 회절분석 및 SEM 사진의 결과를 Fig. 10, 11에 나타내었다. Fig. 10에서 전체적으로 KOH의 첨가량이 증가함에 따라 BaTiO<sub>3</sub> peak의 강도가 커짐을 알 수 있었다. KOH 없이 합성한 경우 BaTiO<sub>3</sub>의 peak는 보이지 않았으며 BaCO<sub>3</sub>의 peak만이 관찰되었다. KOH 0.25 M에서 BaTiO<sub>3</sub> 분말의 peak가 나타나기 시작했으며, KOH의 첨가량이 0.5 M 이상에서는 BaTiO<sub>3</sub> 분말의 peak가 거의 일정하였다. Fig. 11의 SEM 사진을 보면 KOH의 첨가량이 0.5 M 이하에서는 이차입자가 구형을 유지하였으나 2 M 이상에서는 구의 형태를 유지하지 못하

고 합성이 이루어졌다. KOH 첨가량이 증가함에 따라 합성된 분말의 크기가 증가하는 경향을 보였다. 첨가된 KOH의 양이 4 M일 경우에는 입자크기가 균일하지 않았으나, 2 M일 때에는 일차입자가 매우 균일한 상태를 나타내었으며 크기는 약 0.2 μm 정도 되었다. 합성온도 473 K, 반응시간 5일에서 KOH 첨가량을 변화시켜 합성한 분말의 XRD 회절분석 결과 KOH 0 M에서 반응시간 1일에서와 마찬가지로 5일에서도 BaTiO<sub>3</sub>의 peak는 관찰되어지지 않았으며, KOH 첨가량이 0.25 M에서는 반응시간 1일과 비교해 BaTiO<sub>3</sub> 분말의 peak 강도값이 더 높아졌음을 관찰할 수 있었지만 합성이 완료되지 않았음을 알 수 있었다. 여러 합성조건에 따른 c/a 값 및 입자크기를 Table 1에 정리하였다. c/a 값은 XRD pattern에서 (002)(200) peak 값을 이용하여 계산하였다. 입자크기의 측정은 SEM 및 비표면적 측정기(ASAP 2010)을 사용하여 측정하였다. 비표면적을 이용한 입자크기의 측정은 입자를 구의 형태로 가정하여 다음과 같은 식

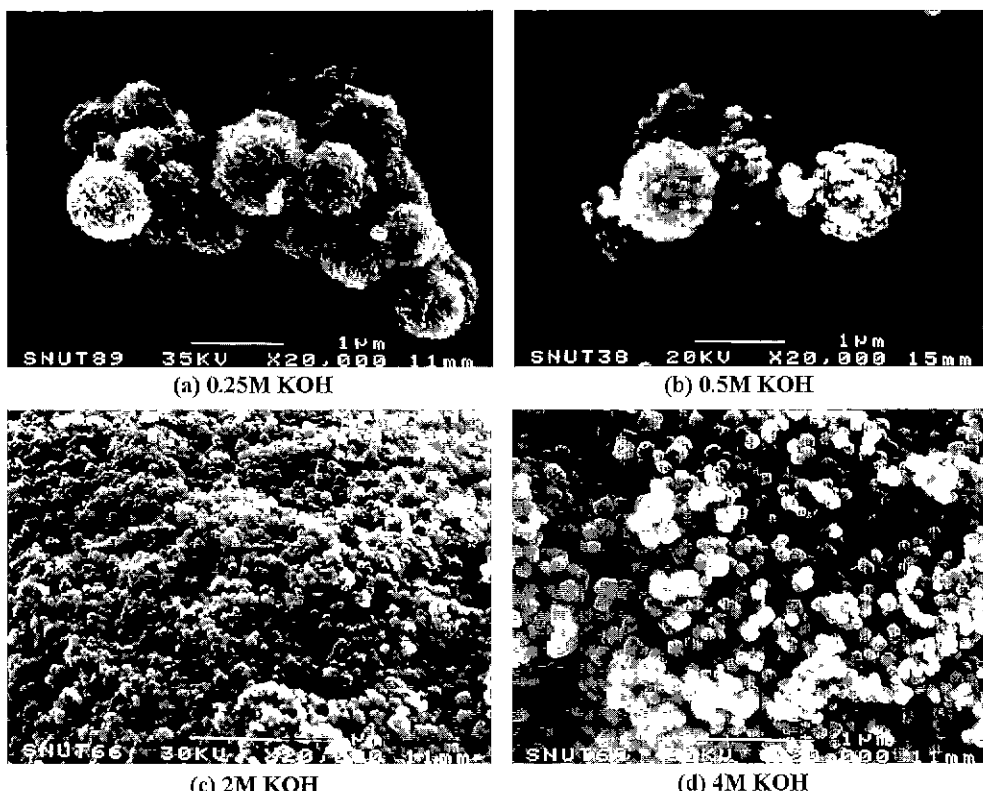


Fig. 11. SEM photographs of BaTiO<sub>3</sub> powder prepared from spherical TiO<sub>2</sub> as reaction proceeds at for 1 day.

Table 1. Partical size and c/a value of BaTiO<sub>3</sub> powders

amount of mineralizer	reaction time	particle size	c/a value
KOH 0.5M	1 day	< 0.1 μm	cubic
	5 days	0.1 μm	cubic
KOH 2M	1 day	< 0.1 μm	cubic
	5 days	> 0.1 μm	1.0075
KOH 4M	1 day	0.2 μm	1.0059
	5 days	0.4 μm	1.0080

에 의하여 정확한 평균입경을 구할 수 있었다.<sup>10)</sup>

$$\text{Total volume: } \left(\frac{4}{3}\right)\pi r^3 = \frac{W}{\rho} \quad (1)$$

$$\text{Total surface: } 4\pi r^2 = S_{\text{BET}} \cdot W \quad (2)$$

$$\text{식(1)과 (2)로부터 } r = \frac{3}{S_{\text{BET}} \cdot \rho}$$

data에서도 보여지듯이 광화제인 KOH의 첨가량

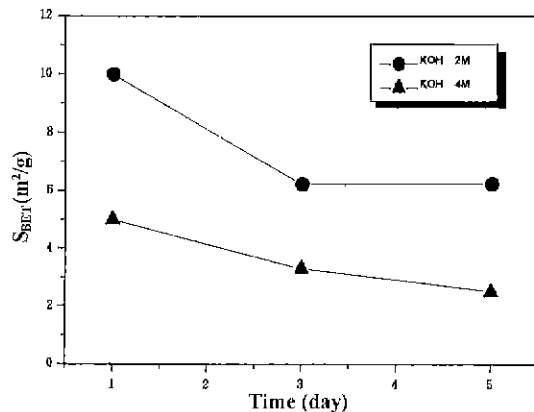


Fig. 12. Specific surface area of BaTiO<sub>3</sub> powder prepared at various conditions.

이 증가할수록, 반응시간이 길어질수록 입자의 크기가 커졌으며, 또한 c/a 값도 증가하였다. Fig. 12에 반응시간과 KOH 첨가량의 변화에 따른 비표면적을 측정한 결과를 나타내었다. 반응시간과 KOH 첨가량

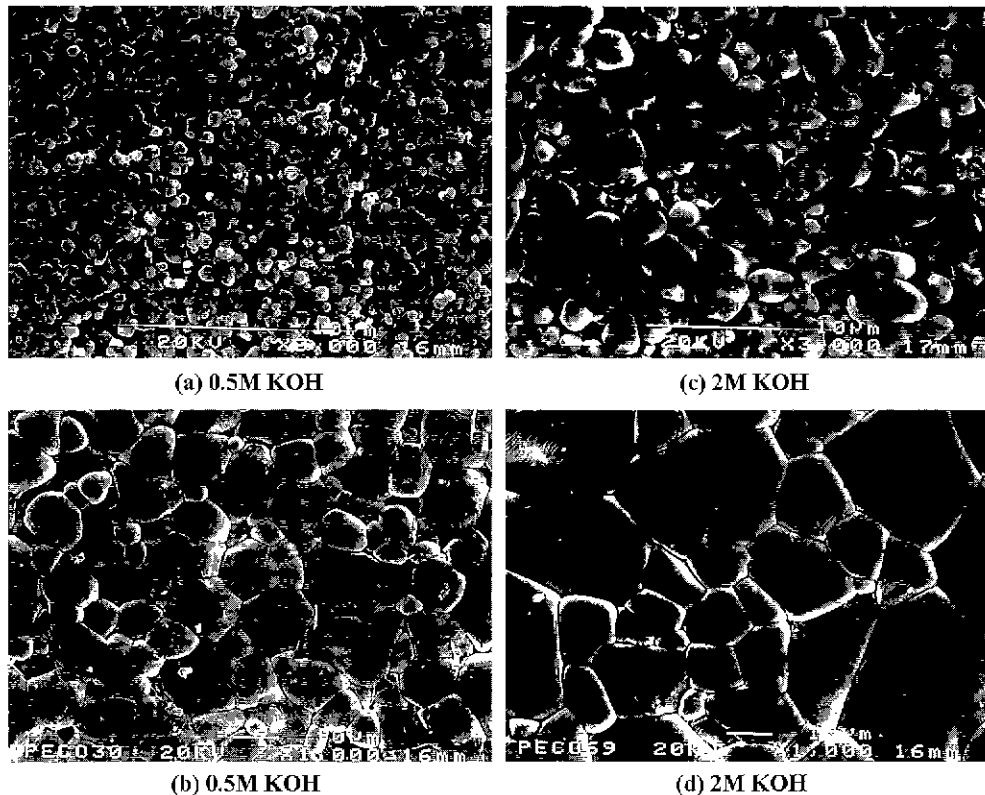


Fig. 13. SEM micrographs of BaTiO<sub>3</sub> sintered at 1250°C (a), (c) and 1350°C (b), (d).

이 증가함에 따라 입자의 크기가 성장하여 비표면적  
이 감소함을 알 수 있었다.

제 분야에 의하여 연구되었으며 이에 감사 드립니다.

### 3-4. 소결결과

합성된 BaTiO<sub>3</sub> 분말을 이용하여 1250~1350°C에서 소결하였을 경우, 일반적으로 소결이 잘 이루어지지 않았다. 이는 합성조건에서 Ba/Ti ratio가 1보다 커지기 때문에 부 반응물로 생성된 BaCO<sub>3</sub>가 소결시 Ba<sub>2</sub>TiO<sub>4</sub>로 합성되어 소결이 되지 않는 것으로 생각되어졌다. 따라서 소량의 TiO<sub>2</sub>를 첨가하여 소결하였을 경우 소결밀도가 증가하는 경향을 보였다. Ba/Ti ratio를 1로 하고 KOH를 0.5 M, 2 M 첨가하여 합성한 분말을 성형하여 소결한 시편의 SEM 사진을 Fig. 13에 나타내었다. Fig. 13-c, d)에서 보여지듯이 KOH 2 M 첨가하여 합성한 BaTiO<sub>3</sub> 분말로 소결하였을 경우 KOH 0.5 M을 넣어 합성한 분말을 이용하여 소결한 것(Fig. 13-a, b) 보다 치밀한 소결체를 얻을 수 있었다. 그러나 계획한 것과는 달리 결정립이 미세하고, 소결밀도가 높은 소결체를 얻을 수 없었으며, 이에 대한 연구는 계속 진행중이다.

## 4. 결 론

- 구형의 TiO<sub>2</sub> gel을 사용하면 미세하고 균일한 입자크기를 갖는 BaTiO<sub>3</sub>를 합성 할 수 있었다.
- 구형의 TiO<sub>2</sub> gel을 사용하여 합성할 경우 KOH 첨가량이 적으면 BaTiO<sub>3</sub>가 구형을 유지하였으나 첨가량이 증가하면 구형이 유지되지 않았다.
- 합성된 BaTiO<sub>3</sub> 분말은 KOH 첨가량이 많아지고, 반응시간이 길어질수록 입자의 크기가 커졌으며 c/a 값도 증가하였다.

## 감사의 글

본 연구는 1997년도 교육부 학술연구 조성비(신소

## 참고문헌

- Dawson, W. J., "Hydrothermal Synthesis of Advanced Ceramic Powders", *Am. Ceram. Soc. Bull.*, **67**(10), 1673-1678 (1988).
- Hirano, S., "Hydrothermal Processing of Ceramics", *Am. Ceram. Soc. Bull.*, **66**(9), 1342-44 (1987).
- Shevets, L. I., "Hydrothermal Synthesis of Highly-Dispersed Barium Titanate", *Doklady Akademii Nauk SSSR*, **284**(4), 889-891 (1979).
- Bruce D. Begg, "Effect of Particle Size on the Room Temperature Crystal Structure of Barium Titanate", *J. Am. Ceram. Soc.*, **77**(12), 3186-3192 (1994).
- Kenji Uchino, "Dependence of the Crystal Structure on Particle Size in Barium Titanate", *J. Am. Ceram. Soc.*, **72**(8), 1555-1558 (1989).
- Arlt, G., "Dielectric Properties of Fine-Grained Barium Titanate Ceramics", *J. Appl. Phys.*, **58**(4), 1619-1625 (1985).
- Brandmayr, R. J. and U. S. Technical Report, No. ECOM-2614, May (1965).
- Hong Kyu Park, "Effect of Solvent on Titania Particle Formation and Morphology in Thermal Hydrolysis of TiCl<sub>4</sub>", *J. Am. Ceram. Soc.*, **80**(3), 743-749 (1997).
- Hong Kyu Park, "Formation of Monodisperse Spherical TiO<sub>2</sub> Powders by Thermal Hydrolysis of Ti(SO<sub>4</sub>)<sub>2</sub>", *J. Am. Ceram. Soc.*, **79**(10), 2727-2732 (1996).
- Kyung, S. H., "공침법에 의한 초미분 BaTiO<sub>3</sub> 분말제조", *J. of the Korean Inst. of Met. & Mater.* Vol. 30, No. 1, 7-14 (1992).